

620.172.22/24 : 669.14 - 462.241

S 123

(123)

角筒の絞り性

70399

大阪大学 工学部

加藤 健三

○白井 勇 宮本謙元

I 緒言

角筒絞りは、4隅の曲辺部の深絞り部分とその他の直辺部の引張り曲げ部分に分けられる。しかし角筒絞りにおいては、ポンチ径とブランク径の比からもスポンチ隅の1/4円の半径とブランクの絞りた部分の半径の比からても、円筒絞りにおける絞り比よりも大きな値を示す。この理由として、絞り変形が單に曲辺部のみで行われるのではなく、曲辺部も絞り変形の一端を受け持ち、絞り変形の曲辺部への集中を緩和している事が考えらる。そこで本実験では、角筒のポンチアロフィルの塑性流山を、材料特性、ブランク隅の切り落とし量、しづかせ力を変化させて、曲辺部から直辺部への材料の流山角度及び板厚分布によって調べた。

2 実験方法

用いたダイセット、ポンチ径: 40mm, ポンチ隅半径: 9.5mm ポンチ扁半径: 5mm, ダイス穴径: 42mm, ダイス隅半径: 10.5mm ダイス扁半径: 5mm。潤滑油はスミン油を用い、両面潤滑とした。ブランクには(表1)の6種の材料を用い、幅80×80mm, 板厚は0.8mm (13Crステンレス又 0.9mm)である。切落とし量は、次の5種, $R_p/R_c = 1.86$ の正方形ブランク1種と、他々八角形ブランク4種である。

$R_p/R_c = 1.86$ (切り落としなし), 1.57, 1.29, 1.14, 1.00。 R_c はブランクが絞り込まれた時、曲辺部と直辺部の高さが等しくなるのに必要な、絞り部分半径であり、材料の曲辺部から直辺部への流れ込みがないと仮定した時の値である。本実験のブランクでは $R_c = 22.49$ mm と算出された。流れ込み角度は、あらかじめポンチ隅の1/4円の中心を通る直線をヶ書いておき、絞りた後、その線の傾きを測定した。板厚分布は、曲辺部から直辺部に渡って5, 所れは“2, カ”アロ厚から9mm 18mmの2, 所測定した。

3 実験結果

実験結果を(図1)(図2)に示す。曲辺部から直辺部への流れ込みは、切落とし量が小さく又しづかせ力が大きい程大きくなっている。また、材料別にみた場合、 r 値の大きい材料は、流れ込み角が大きい。これは2つの部分の変形抵抗の差が大きい程大きい、流れ込みも大きいと想われるが、 r 値との相関性を無視出来ないので、まだ検討の余地があると思われる。板厚の減少は破断力を低下させるが、円筒絞りにおいて絞り性の良い材料は、角筒の破断部位である曲辺部の板厚減少が小さい。板取りによる差は、 $R_p/R_c = 1.14 \sim 1.86$ のものは似た傾向を示すが、 $R_p/R_c = 1.00$ のものはそれと異なった傾向を示す。この実験より角筒絞りには、 r 値の外に m 値の効果を考慮に入れる必要がある事から、だ。

表1 ブランクの機械的性質

	引張り強度 kg/mm ²	全伸び %	m 値	r 値
リムト鋼	23.68	33.90	0.23	1.29
キルト鋼	31.16	45.08	0.22	1.66
13Crステンレス	51.19	30.04	0.20	0.76
金剛	24.53	48.72	0.27	0.84
64黄銅	40.59	46.63	0.37	0.75
アルミニウム	8.81	48.08	0.28	0.80

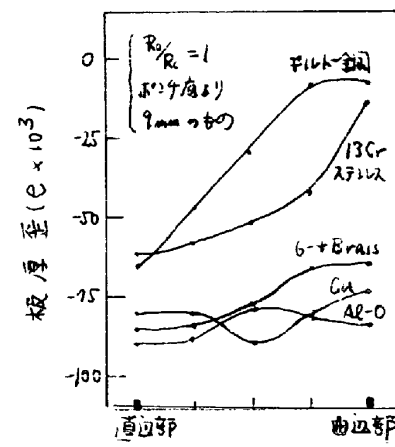


図1 板厚分布

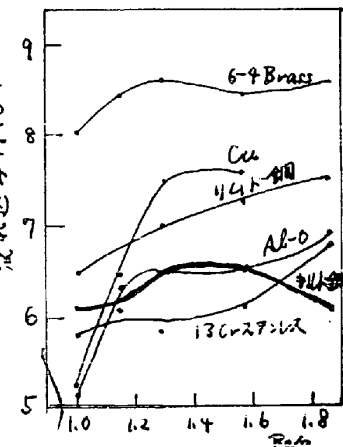


図2 板厚分布と流れ込み角度